

Зебрев Геннадий Иванович

СБОРНИК ЗАДАЧ  
ПО КУРСУ  
«ОСНОВЫ МИКРОЭЛЕКТРОНИКИ»

Редактор Н.В. Шумакова

Московский инженерно-физический институт  
(государственный университет). Типография МИФИ.  
115409, Москва, Каширское шоссе, 31.

## ПРЕДИСЛОВИЕ

Курс «Основы микроэлектроники» читается студентам третьего курса факультета автоматике и является для них одним из базовых предметов. Программа курса содержит довольно много весьма разнообразного материала, включая основы физики полупроводников и полупроводниковых приборов, схемотехники и технологии изготовления интегральных схем. Ядром курса является изложение основ физики приборов, понимание которых является одним из непременных профессиональных качеств специалиста в области микроэлектроники.

Цель данного учебного пособия – помочь студентам в самостоятельном изучении основ физики микроэлектронных приборов, а для преподавателей – дать материал для семинарских занятий и возможность перенести часть семинарских занятий студентов "на дом".

Все задачи сопровождаются подробными решениями и численными примерами. Большинство предложенного материала не является задачами в традиционном смысле слова, а представляют собой упражнения для практических расчетов и выводов, направленные на усвоение базовых понятий физики приборов и их взаимосвязи, а также элементарных методов расчетов их основных характеристик.

В книге используется по возможности стандартная международная система обозначений, что позволит облегчить знакомство студентов с современной литературой по моделированию элементов микроэлектроники, а также с более или менее стандартной системой обозначений в современных системах автоматического проектирования, основанных на текстовых форматах типа SPICE. Задачи подобраны по следующим темам:

1. основы физики полупроводников;
2. физика  $p$ - $n$  переходов;
3. МОП-транзисторы;
4. биполярные транзисторы.

Изложение носит, насколько это возможно, автономный характер с системой внутренних ссылок. Все численные константы приведены в условиях и в решениях задач, справочный материал приведен в конце книги (с. 43). Пособие такого объема с неизбежно-

стью носит вспомогательный характер и рекомендуется к использованию параллельно с обучением по лекциям, базовому учебнику [1], либо по учебникам и монографиям [2-9].

## Задачи и решения

### 1. ОСНОВЫ ФИЗИКИ ПОЛУПРОВОДНИКОВ

#### Задача 1

Найти концентрации свободных электронов  $n$  и дырок  $p$  в полупроводнике, легированном одновременно донорами  $N_D$  и акцепторами  $N_A$ . Считать, что все примеси ионизованы. Исследовать случаи:

- а)  $N_D = N_A \gg n_i^2$ ;
- б)  $N_D \gg N_A$  (полупроводник  $n$ -типа);
- в)  $N_A \gg N_D$  (полупроводник  $p$ -типа);
- г) рассчитать концентрации электронов и дырок, если  $N_D = 10^{16} \text{ см}^{-3}$ ;  $N_A = 10^{15} \text{ см}^{-3}$ .

#### Решение

В равновесном состоянии в полупроводнике всегда справедлив закон действующих масс:

$$n p = n_i^2. \quad (1.1)$$

Условие локальной электронейтральности имеет вид

$$N_D + p = N_A + n. \quad (1.2)$$

Из этих уравнений находим:

$$p = (1/2)(N_A - N_D) + \sqrt{(1/4)(N_A - N_D)^2 + n_i^2}; \quad (1.3)$$

$$n = -(1/2)(N_A - N_D) + \sqrt{(1/4)(N_A - N_D)^2 + n_i^2}. \quad (1.4)$$

Для случая  $N_D - N_A \gg n_i$  имеем:

$$n \cong N_D - N_A = 0.9 \times 10^{16} \text{ см}^{-3} \cong N_D;$$

$$p \cong n_i^2 / N_D \cong (10^{10})^2 / 10^{16} = 10^4 \text{ см}^{-3}.$$

Несмотря на то, что концентрация доноров превосходит концентрацию акцепторов всего лишь на порядок, плотности электронов и дырок различаются на 12 порядков!

Если плотности доноров и акцепторов приблизительно равны  $|N_D - N_A| \ll n_i$ , то  $n \cong p \cong n_i \cong 10^{10} \text{ см}^{-3}$ , даже если концентрация доноров и акцепторов по отдельности будет велика, т.е.  $N_D, N_A \gg n_i$ .

## Задача 2

Пользуясь результатами предыдущей задачи, найти формулу для расчета положения уровня Ферми при заданном уровне легирования полупроводника.

а). Как меняется положение энергии Ферми в зависимости от разности  $N_D - N_A$  при фиксированной температуре?

б). Как изменяется положение уровня Ферми при изменении температуры при фиксированном уровне легирования?

в). Где будет находиться энергия Ферми при условии  $|N_D - N_A| \ll n_i$ ? За счет чего обеспечивается электронейтральность полупроводника в этом случае?

г). Обсудить область применимости полученных формул.

### Решение

В полупроводнике, находящемся в состоянии равновесия, концентрация свободных электронов и дырок связана с энергией Ферми соотношениями:

$$n = N_C \exp(-(E_C - E_F)/kT), \quad (2.1)$$

$$p = N_V \exp(-(E_F - E_V)/kT), \quad (2.2)$$

где  $N_C$  и  $N_V$  – эффективные плотности состояний в зоне проводимости и валентной зоне соответственно. Эти параметры определяются расчетным путем (оба имеют величину  $\sim 10^{19} \text{ см}^{-3}$ ) и имеют слабую зависимость от температуры ( $N_C \sim N_V \sim T^{3/2}$ ), которой можно почти всегда пренебречь в сравнении с экспоненциальной зависимостью в (2.1 – 2.2).

Положение энергии Ферми в однородном полупроводнике следует находить из условия электронейтральности. Приравнявая соответственно (2.1) и (1.4), а также (2.2) и (1.3), получаем два выражения:

$$E_F \cong E_C - kT \ln[N_C/n], \quad (2.3)$$

$$E_F \cong E_V + kT \ln[N_V/p], \quad (2.4)$$

где  $n$  и  $p$  определяются (1.3) и (1.4). Отметим, что для равновесного случая эти выражения полностью эквивалентны друг другу и согласуются с формулой (1.1) и соотношением

$$n_i^2 = N_C N_V \exp[-(E_C - E_V)/kT]. \quad (2.5)$$

а). Если  $|N_D - N_A| \gg n_i^2$ , то из (1.4) и (2.3) получаем, что с увеличением разности  $N_D - N_A$  уровень Ферми будет приближаться к краю зоны проводимости по логарифмическому закону:  $E_F - E_C \sim \text{const} + kT \ln[|N_D - N_A|]$ .

б). При любом типе легирования энергия Ферми с ростом температуры движется к середине запрещенной зоны кремния приблизительно по линейному закону (см. (2.3) и (2.4)).

в). Если  $N_D \cong N_A$ , то энергия Ферми находится приблизительно в середине запрещенной зоны кремния, плотности электронов и дырок порядка собственной концентрации  $n_i$ , т.е. очень малы, а концентрации ионизованных отрицательных акцепторов и положительных доноров (которые могут на много порядков превосходить собственную концентрацию) равны друг другу.

г). Полученные формулы справедливы для умеренной степени легирования полупроводника ( $N_D, N_A < N_C \sim N_V \cong 10^{19} \text{ см}^{-3}$ ) и/или для не очень низких температур. В этих случаях уровень Ферми располагается не очень близко к краям зон полупроводника ( $E_C - E_F > 2-3 kT$ , невырожденный случай), что обеспечивает также достаточную степень ионизации легирующей примеси.

### Задача 3

Показать, что соотношение между дрейфовой скоростью и электрическим полем с постоянной подвижностью  $\mu$  эквивалентно закону Ома. Получить выражение для удельного и полного сопротивления.

#### Решение

Дрейфовая скорость  $v_d = \mu E$  носителей с концентрацией  $N$  и зарядом  $q > 0$  приводит к плотности электрического тока

$$J = q v_d N = q \mu N E. \quad (3.1)$$

Полный ток через однородный образец длиной  $L$  и площадью поперечного сечения  $A$  при приложении разности потенциалов на контактах  $V$  ( $E = V/L$ ) равен

$$\begin{aligned} I &= q (A/L) \mu N V; \\ \text{сопротивление образца} \quad R &= (L/A)(q \mu N)^{-1}, \\ \text{удельное сопротивление} \quad \rho &= 1/(q \mu N). \end{aligned}$$

#### Задача 4

Пластина кремния длиной  $L = 100$  мкм, шириной  $W = 10$  мкм и толщиной  $a = 1$  мкм легирована мышьяком  $10^{16}$  см $^{-3}$  ( $\mu_n = 1000$  см $^2$ /(В×с)). Вычислить:

- удельное сопротивление кремния  $\rho$ ;
- удельное поверхностное сопротивление пластины  $\rho_s$ ;
- полное сопротивление пластины  $R$ .

#### Решение

$$\rho = 0.0625 \text{ Ом}\cdot\text{см}; \rho_s = \rho/a = 625 \text{ Ом}/\square; R = \rho_s (L/W) = 6.25 \text{ кОм}.$$

#### Задача 5

Имеем однородный образец (полупроводник) длиной  $L$  и площадью поперечного сечения  $A$ . Найти:

- полное количество подвижного заряда в образце  $Q$ ;
- время, за которое носитель с подвижностью  $\mu$  преодолет всю длину образца  $L$  в электрическом поле  $E$  ("время пролета"  $\tau_F$ );
- показать, что для тока  $I$  выполняется соотношение

$$I = Q/\tau_F$$

#### Решение

$$\text{а) } Q = q N A L; \quad \text{б) } \tau_F = L/v_d = L/(\mu E) = L^2/(\mu V).$$

#### Задача 6

Для образца кремния  $n$ -типа ( $T=300\text{К}$ , удельное сопротивление  $\rho = 5$  Ом×см, подвижность электронов  $\mu_n = 1600$  см $^2$ /(В×с); подвижность дырок  $\mu_p = 600$  см $^2$ /(В×с)) определить:

- концентрацию электронов и дырок;
- положение уровня Ферми;
- долю неионизированных доноров.

Принять, что энергия ионизации доноров  $E_C - E_D = 0.05$  эВ.

#### Решение

Используем формулу для удельного сопротивления (см. задачу 4) и соотношение (1.1), справедливое для случая равновесия. Имеем

$$\rho = [q(\mu_n n + \mu_p n_i^2 / n)]^{-1}. \quad (6.1)$$

- Отсюда получаем численно  $n \cong 0.8 \times 10^{15}$  см $^{-3}$ .

б). Используя (2.3), получаем  $E_C - E_F \cong 0.244$  эВ.

в). Вероятность того, что донорный уровень нейтрален (т.е. заполнен) определяется функцией распределения Ферми - Дирака

$$f(E_D) = [1 + \exp[(E_D - E_F)/kT]]^{-1}. \quad (6.2)$$

Поскольку  $E_C - E_F \cong 0.244$  эВ и  $E_C - E_D \cong 0.05$  эВ, то  $E_D - E_F \cong 0.194$  эВ, откуда

$$f(E_D) = [1 + \exp[(0.194/0.026)]]^{-1} \cong 5.7 \times 10^{-4}.$$

### Задача 7

Тонкая пластина кремния с уровнем легирования  $N_A = 10^{16}$  см<sup>-3</sup> освещается светом такой интенсивности, что в объеме кремния содержится избыточная концентрация носителей  $\Delta n = \Delta p = 10^{15}$  см<sup>-3</sup>.

а). Найдите смещение квазиуровней Ферми для электронов и дырок от своего равновесного значения.

б). Как изменится закон действующих масс в этом случае?

#### Решение

а). Для определения понятия квазиуровней Ферми воспользуемся обобщением равновесных соотношений (2.1-2.2)

$$n_0 + \Delta n = N_C \exp(-(E_C - E_{Fn})/kT); \quad (7.1)$$

$$p_0 + \Delta p = N_V \exp(-(E_{Fp} - E_V)/kT), \quad (7.2)$$

из которых получаем:

$$E_{Fn} - E_F = kT \ln[(n_0 + \Delta n)/n_0] \cong kT \ln[N_A \Delta n/n_i^2] \cong 0.66 \text{ эВ};$$

$$E_{Fp} - E_F = -kT \ln[(p_0 + \Delta p)/p_0] \cong -kT (\Delta p/N_A) \cong -0.0026 \text{ эВ}.$$

Отметим, что квазиуровень Ферми для основных носителей (дырок) практически остался равным равновесному значению, в то время как квазиуровень Ферми для электронов сдвинулся по направлению к зоне проводимости на две трети ширины запрещенной зоны кремния.

б). Равновесное соотношение (1.1) модифицируется при этом следующим образом:

$$(n_0 + \Delta n)(p_0 + \Delta p) = N_C N_V \exp[-(E_g + E_{Fp} - E_{Fn})/kT] = n_i^2 \exp[(E_{Fn} - E_{Fp})/kT]. \quad (7.3)$$

Формула (7.3) справедлива и в общем случае, когда неравновесные концентрации носителей, и, следовательно, расщепление уровня Ферми происходит за счет других процессов. Например, при

инжекции (в этом случае  $E_{Fn} - E_{Fp} > 0$ ), либо удалении носителей ( $E_{Fn} - E_{Fp} < 0$ ) при помощи контактов или  $p$ - $n$  переходов.

### Задача 8

а). Получите выражение для разности скоростей тепловой генерации и рекомбинации в приближении слабого отклонения от состояния равновесия. Как изменится результат, если появится источник нетепловой генерации?

б). Интенсивность света такова, что в освещаемой тонкой пластине полупроводника имеет место равномерная оптическая генерация носителей обоих типов с объемной скоростью  $G_{opt} = 10^{21} \text{ см}^{-3} \times \text{с}^{-1}$ .

Найдите стационарное значение концентрации избыточных основных и неосновных носителей.

в). Пользуясь уравнением непрерывности, получите закон убывания концентраций неравновесных носителей после того, как освещение будет выключено.

Принять, что среднее время жизни носителей  $\tau = 1 \text{ мкс}$ , а уровень легирования  $10^{16} \text{ см}^{-3}$ .

### Решение

а). В состоянии теплового равновесия скорость тепловой генерации электронов и дырок  $G$  и скорость рекомбинации  $R$  равны друг другу. Скорость рекомбинации пропорциональна произведению концентрации электронов и дырок  $R \sim n p$ , скорость генерации есть функция только температуры, и поэтому условие теплового равновесия  $G = R$  эквивалентно формуле (1.1). Если концентрация носителей по каким-либо причинам отклоняется от равновесного значения, то разность между скоростью генерации и рекомбинации становится ненулевой

$$G - R = -\gamma(n p - n_i^2), \quad (8.1)$$

где  $\gamma$  - не зависящая от концентраций носителей некоторая функция температуры и положения энергетических уровней дефектов и примесей, через которые происходят процессы генерации и рекомбинации. Если отклонение концентраций от равновесных значений основных носителей невелико ( $\Delta n = \Delta p \ll n_0$  или  $p_0$ ), то из (3.1) можно получить

$$G - R \cong -\gamma(n_0 + p_0) \Delta n \cong -\Delta n / \tau, \quad (8.2)$$



где введена константа  $\tau$ , имеющая размерность времени, называемая временем жизни.

Уравнение непрерывности в однородном образце при наличии источника генерации, имеющий не тепловой, а оптический характер, имеет вид

$$\frac{\partial \Delta n}{\partial t} = G_{opt} - \frac{\Delta n}{\tau}. \quad (8.3)$$

При долгом освещении стационарное значение концентраций избыточных носителей находится из равенства нулю правой части (8.3)

$$\Delta n_0 = G_{opt} \tau, \quad (8.4)$$

откуда получаем  $\Delta n_0 = 10^{15} \text{ см}^{-3}$ , так что условие слабой инжекции, при котором мы, строго говоря, только и можем пользоваться концепцией постоянной времени жизни, выполнено.

Решая (8.3) с начальным условием  $\Delta n = G_{opt} \tau$ , получаем

$$\Delta n = G_{opt} \tau \exp[-t/\tau]. \quad (8.5)$$

Подчеркнем, что в силу того, что генерация и рекомбинация идет парами и сохраняется условие электронейтральности ( $\Delta n = \Delta p$ ), то после выключения освещения концентрация избыточных основных и неосновных носителей уменьшается по одному закону. Тем не менее, поскольку относительное изменение концентрации основных носителей незначительно в сравнении с относительным изменением концентраций неосновных носителей (см. задачу 7), величину  $\tau$  часто называют временем жизни неосновных носителей.

### Задача 9

Используя выражение для локальной неравновесной плотности электронов через локальное значение квазиуровня Ферми  $E_{Fn}$  (см. задачу 8)

$$n(x) = N_C \exp(-(E_C(x) - E_{Fn}(x))/kT), \quad (9.1)$$

и соотношение для плотности диффузионно-дрейфового тока

$$J_n = q\mu_n n E + qD_n dn/dx, \quad (9.2)$$

и учитывая, что электрическое поле  $E$  пропорционально наклону края валентной зоны и зоны проводимости

$$E = dE_c / (q dx), \quad (9.3)$$

показать, что из условия равенства нулю полного тока и независимости квазиуровня Ферми от координаты следует соотношение Эйнштейна

$$D_n / \mu_n = kT / q \equiv \phi_i, \quad (9.4)$$

а полный ток электронов пропорционален градиенту электронного квазиуровня Ферми

$$J_n = \mu_n n dE_{Fn} / dx. \quad (9.5)$$

Проделать все это также и для дырочного тока  $J_p$ .

#### **Решение**

Подставляя выражение для концентрации в формулу для тока, непосредственным вычислением получаем

$$J_n = q \left( \mu_n - \frac{q D_n}{kT} \right) n E + \frac{q D_n}{kT} n \frac{dE_{Fn}}{dx}. \quad (9.6)$$

В равновесии полный ток должен быть равен нулю, следовательно, квазиуровень Ферми не должен зависеть от координаты и соотношение Эйнштейна должно выполняться тождественно. Учитывая соотношение Эйнштейна, получаем выражение для тока электронов (9.5).

#### **Задача 10**

Из равенства нулю полного тока в равновесном, но неоднородном полупроводнике найти, как связаны потенциалы в двух различных точках  $a$  и  $b$  с равновесными концентрациями электронов и дырок в этих точках. Рассмотреть два частных случая:

- а) обедненная область в МОП-структуре;
- б)  $p$ - $n$  переход в равновесии.

#### **Решение**

Из условия равенства нулю тока  $J_n = 0$  (см. (9.2)) можно найти распределение электрического поля в неоднородном полупроводнике и проинтегрировать его, получив, разность потенциалов между двумя точками  $a$  и  $b$ :

$$\int_a^b E(x) dx = -\varphi_t \int_a^b dn/n. \quad (10.1)$$

Отметим здесь, что в физике полупроводников часто удобно отсчитывать потенциал вниз от своего значения в нейтральной однородной подложке. При этом  $E=d\varphi/dx$  и локальные плотности электронов в точках  $a$  и  $b$  связаны с соответствующими локальными значениями потенциалов

$$n(b)/n(a) = \exp(-(\varphi(b) - \varphi(a))/\varphi_t). \quad (10.2)$$

Аналогичное выражение имеет место для дырок

$$p(b)/p(a) = \exp((\varphi(b) - \varphi(a))/\varphi_t); \quad (10.3)$$

а) поверхностную концентрацию электронов у границы раздела кремния с оксидом в МОП-структуре с  $p$ -подложкой  $n(x=0)$  можно выразить через поверхностный потенциал у границы раздела и концентрацию электронов в глубине  $p$ -подложки  $n_i^2/N_A$ :

$$n(x=0) = (n_i^2/N_A) \exp(\varphi_s/\varphi_t); \quad (10.4)$$

б) барьерный потенциал в равновесном  $p$ - $n$  переходе определяется равновесными концентрациями электронов и дырок в глубине нейтральной подложки  $p$ - $n$  перехода и не зависит от деталей распределения легирующей примеси в области пространственного заряда  $p$ - $n$  перехода:

$$\varphi_B = \varphi(b) - \varphi(a) = \varphi_t \ln(n(a)/n(b)) = \varphi_t \ln(n_{n0} p_{p0} / n_i^2). \quad (10.5)$$

## 2. СВОЙСТВА МОП-СТРУКТУР

### Задача 11

Найти распределение электрического поля в области пространственного заряда равномерно легированной  $p$ -подложке МОП-транзистора.

а). Получить выражение для электрического поля в полупроводнике у границы раздела, если концентрацией электронов в инверсионном слое еще можно пренебречь. Как изменится результат при появлении инверсионного слоя с заметной поверхностной плотностью электронов  $n_s$ ? Как связаны электрические поля в по-

полупроводнике и оксиде на границе Si-SiO<sub>2</sub>? Каково будет электрическое поле в оксиде за слоем положительного заряда в оксиде с плотностью  $N_{ot}$ ?

б). Найти ширину обедненной области для поверхностного потенциала  $\varphi_s = 0.6$  В для равномерно легированной подложки  $N_A = 10^{16}$  см<sup>-3</sup>.

в). Как изменится толщина обедненного слоя, если между контактом подложки МОП-транзистора и заземленным стоком и истоком подать отрицательное смещение  $V_{BS} = -3$  В?

### Решение

Решение уравнения Пуассона в пределах обедненного слоя полупроводника  $p$ -типа

$$dE/dx = -(q/\varepsilon_s \varepsilon_0) N_A, \quad 0 \leq x \leq W, \quad (11.1)$$

с граничным условием на границе обедненного слоя  $E(x=W) = 0$  имеет вид:

$$E(x) = (q/\varepsilon_s \varepsilon_0) N_A (W - x). \quad (11.2)$$

То же выражение легко получить, пользуясь законом Гаусса, который является интегральной формой уравнения Пуассона.

а). Если концентрацией электронов в инверсионном слое можно пренебречь, то формулу для электрического поля у границы раздела со стороны полупроводника получаем, полагая  $x=0$  в (11.2). Если же плотностью электронов в инверсионном слое  $n_s$  пренебречь нельзя, то закон Гаусса дает элементарное обобщение

$$E(x=0) = (q/\varepsilon_s \varepsilon_0) (N_A W + n_s). \quad (11.3)$$

Если известно поверхностное поле со стороны полупроводника  $E_s$ , то поле со стороны оксида  $E_{ox}$  можно рассчитать, пользуясь непрерывностью электрического смещения

$$E_{ox}(x=0) = (\varepsilon_s / \varepsilon_i) E_s \cong 4 E_s. \quad (11.4)$$

В (11.4) учтено, что диэлектрические проницаемости кремния и SiO<sub>2</sub> равны, соответственно,  $\varepsilon_s \cong 12$  и  $\varepsilon_i \cong 4$ .

Учитывая (11.3) и (11.4), и пользуясь законом Гаусса, получаем, что электрическое поле между затвором и слоем положительного заряда в оксиде с плотностью  $N_{ot}$  равно

$$E_{ox}(x=0) = (q/\varepsilon_i \varepsilon_0) (N_A W + n_s - N_{ot}). \quad (11.5)$$

б). Интегрируя электрическое поле по  $x$  от нуля до границы области пространственного заряда  $W$ , получаем соотношение для поверхностного потенциала (т.е. разности потенциалов между под-

ложкой и границей раздела Si-SiO<sub>2</sub>), как функцию толщины обедненной области

$$\varphi_s = (q/\varepsilon_s \varepsilon_0) N_A W^2/2. \quad (11.6)$$

Отсюда ширина обедненной области как функция поверхностного потенциала имеет вид:

$$W = [2 \varepsilon_s \varepsilon_0 \varphi_s / (q N_A)]^{1/2}; \quad (11.7)$$

$$W = [2 \times 12 \times 8.85 \times 10^{-14} \times 0.6 / (1.6 \times 10^{-19} \times 10^{16})]^{1/2} \cong 0.28 \text{ мкм.}$$

Формулами (11.6-11.7) можно пользоваться и в случае сильной инверсии, поскольку падение потенциала на тонком инверсионном слое весьма мало (порядка  $\varphi$ ).

в). Отрицательное смещение на  $p$ -подложку эквивалентно обратносмещенным  $p$ - $n$  переходам истока и стока, в которых все дополнительное приложенное напряжение падает в области пространственного заряда соответствующих  $p$ - $n$  переходов. В контексте данной задачи МОП-структуру можно рассматривать как  $p$ - $n$  переход с очень сильно легированной  $n$ -областью. Все приложенное смещение между контактом истока и подложки будет падать на области пространственного заряда, и ее толщина будет равна

$$W = [2 \varepsilon \varepsilon_0 (\varphi_s - V_{BS}) / (q N_A)]^{1/2}.$$

При этом, толщина обедненного слоя может существенно вырасти:

$$W = [2 \times 12 \times 8.85 \times 10^{-14} \times (0.6+3) / (1.6 \times 10^{-19} \times 10^{16})]^{1/2} \cong 0.69 \text{ мкм.}$$

### Задача 12

Между подложкой  $p$ -типа с однородной концентрацией легирующей примеси  $N_A$  (SPICE параметр NSUB) и затвором МОП-структуры приложено напряжение  $V_g$ . Найти связь между этим напряжением и поверхностным потенциалом  $\varphi_s$ , если в оксиде присутствует положительный заряд с поверхностной плотностью  $N_{ot}$ , расположенный вблизи границы раздела с кремнием.

#### Решение

При приложении положительного смещения на затворе появляется положительный заряд с поверхностной плотностью  $N$ . Этот заряд экранируется отрицательным зарядом акцепторов в слое толщиной  $W(\varphi_s)$  (см. задачу 11) и электронов  $n_s$  в тонком инверсионном слое. Условие электронейтральности всей МОП-структуры с

учетом положительного заряда в оксиде ( $Q_{ot} = q N_{ot}$ ) записывается в виде

$$N + N_{ot} = n_S + N_A W. \quad (12.1)$$

Поскольку по условию весь заряд в оксиде сосредоточен около границы раздела Si-SiO<sub>2</sub>, то электрическое поле в оксиде будет константой, которую можно связать через закон Гаусса с плотностью заряда на затворе

$$E_{ox} = q N / (\varepsilon_i \varepsilon_0), \quad (12.2)$$

где  $\varepsilon_i$  – относительная диэлектрическая проницаемость оксида (~ 3.9 для SiO<sub>2</sub>).

Приложенное напряжение между затвором и подложкой состоит из падений напряжений в полупроводнике ( $\varphi_s$ ) и по толщине оксида  $d_{ox}$  (SPICE параметр TOX) и контактной разности потенциалов между материалом затвора и кремниевой подложки  $\varphi_{ms}$  (см. задачу 14).

$$V_g = \varphi_{ms} + \varphi_s + E_{ox} d_{ox}. \quad (12.3)$$

Тогда, с учетом (12.1) и (12.2) а также (11.6-11.7) получаем:

$$V_g = \varphi_{ms} + \varphi_s + (qn_s + qN_A W(\varphi_s) - Q_{ot}) / C_0, \quad (12.4)$$

где мы определили удельную емкость оксида:

$$C_0 = \varepsilon_i \varepsilon_0 / d_{ox}, \quad (12.5)$$

(SPICE параметр COX).

### Задача 13

Найти поверхностные потенциалы в МОП-транзисторе с подложкой  $p$ -типа, при которых:

а) объемные концентрации электронов и дырок у границы раздела Si-SiO<sub>2</sub> равны друг другу;

б) объемная концентрация неосновных носителей (электронов) у границы раздела равна концентрации основных носителей в подложке (дырок).

в). Получите выражения для напряжений на затворе, соответствующих этим потенциалам.

г). При каком напряжении на затворе полный заряд в полупроводнике будет равен нулю?

### Решение

Концентрации электронов и дырок у границы раздела как функции потенциала у поверхности  $\varphi_s$  имеют вид (см. задачу 10):

$$n(\varphi_s) = N_C \exp[-(E_C - E_F - q\varphi_s)/kT] \cong (n_i^2 / N_A) \exp(\varphi_s / \varphi_t); \quad (13.1)$$

$$p(\varphi_s) = N_V \exp[-(E_F - E_V + q\varphi_s)/kT] \cong N_A \exp(-\varphi_s / \varphi_t). \quad (13.2)$$

Из условий задачи приравняем концентрации

$$\text{а) } n(\varphi_s) = p(\varphi_s); \quad \text{б) } n(\varphi_s) = N_A,$$

и находим из условия (а) поверхностный потенциал, при котором концентрации электронов и дырок равны

$$\varphi_{mg} = \varphi_F \equiv \varphi_t \ln[N_A/n_i]. \quad (13.3)$$

Этот потенциал часто называют потенциалом середины зоны (midgap potential), поскольку уровень Ферми у поверхности находится в этом случае в середине запрещенной зоны кремния.

Из условия (б) находим поверхностный потенциал, соответствующий началу сильной инверсии (SPICE параметр PNI)

$$\varphi_{th} = 2\varphi_F \equiv 2\varphi_t \ln[N_A/n_i]. \quad (13.4)$$

в). Теперь, используя полученное ранее выражение для затворного напряжения, получаем соответственно:

напряжение середины зоны (midgap voltage)

$$V_{mg} \equiv V_g(\varphi_F) = \varphi_{ms} + \varphi_F + [qN_A W(\varphi_F) - Q_{ot}]/C_0; \quad (13.5)$$

пороговое напряжения (threshold voltage, SPICE параметр VTO)

$$V_t \equiv V_g(2\varphi_F) = \varphi_{ms} + 2\varphi_F + [qN_A W(2\varphi_F) - Q_{ot}]/C_0. \quad (13.6)$$

г). Полный заряд в кремнии равен нулю, если поверхностный потенциал равен нулю и края зон кремния не изогнуты (условие "плоских зон"). Подставляя  $\varphi_s = 0$  в (12.4) получаем выражение для напряжения плоских зон  $V_{FB}$  (flatband voltage)

$$V_{FB} \equiv V_g(0) = \varphi_{ms} - Q_{ot}/C_0. \quad (13.7)$$

### Задача 14

Пользуясь результатами задач 12 и 13, получить выражение для поверхностной плотности электронов в инверсионном слое МОП-транзистора с  $p$ -подложкой как функцию напряжения на затворе и порогового напряжения.

а). Рассчитайте поверхностную концентрацию носителей в инверсионном слое, если пороговое напряжение  $V_t = 1$  В, напряжение на затворе  $V_g = 3$  В, а толщина оксида равна 20 нм. Сравните ее с

поверхностной плотностью отрицательных акцепторов в обедненном слое, если подложка равномерно легирована и  $N_A = 5 \times 10^{16} \text{ см}^{-3}$ .

б). Как изменится пороговое напряжение, если при воздействии ионизирующего излучения положительный заряд в оксиде увеличится на величину  $\Delta N_{ot} = 5 \times 10^{11} \text{ см}^{-2}$ ?

### Решение

После того, как потенциал достиг своего значения  $2\varphi_F$ , объемная концентрация электронов у границы раздела сравнивается с концентрацией акцепторов, и дальнейший экспоненциальный (по потенциалу, см. (13.1)) рост плотности электронов дает возможность пренебречь довольно слабой зависимостью ширины обедненной области от потенциала. При этом, для затворных напряжений выше порогового  $V_g > V_t$ , можно с хорошей точностью полагать для расчетов  $N_A W(\varphi_s) \cong N_A W(2\varphi_F)$ . Тогда, учитывая (13.6), находим из (12.4)

$$qn_s \cong C_o (V_g - V_g(\varphi_s = 2\varphi_F, n_s = 0)) = C_o (V_g - V_t). \quad (14.1)$$

а). Используя (14.1) и (12.5) получаем:

$$n_s = (C_o/q) (V_g - V_t) = \varepsilon_i \varepsilon_0 (V_g - V_t) / (q d_{ox}) \cong 2.16 \times 10^{12} \text{ см}^{-2}.$$

Плотность заряженных акцепторов в обедненном слое рассчитываем при помощи соотношений (11.6-11.7) при потенциале  $\varphi_s = 2\varphi_F$ . Используя определение (13.3), вычисляем

$$\varphi_F \cong \varphi_t \ln[N_A/n_i] = 0.026 \ln[5 \times 10^{16}/10^{10}] \cong 0.4 \text{ В}.$$

Плотность зарядов в обедненной области равна

$$N_A W(2\varphi_F) = [2 \varepsilon_s \varepsilon_0 2\varphi_F N_A / q]^{1/2} \cong 7.2 \times 10^{11} \text{ см}^{-2};$$

в надпороговой области обычно выполняется неравенство  $n_s > N_A W$ .

б). Используя (13.6), имеем

$$\Delta V_t = -q \Delta N_{ot} / C_o, \quad (14.2)$$

откуда делаем вывод, что сдвиг порогового напряжения  $\Delta V_t = -0.46 \text{ В}$  происходит в сторону меньших значений.

### Задача 15

Рассчитать напряжение плоских зон для МОП-структуры с уровнем легирования подложки акцепторами  $N_A = 10^{17} \text{ см}^{-3}$  и алюминиевым затвором ( $\chi_m = 4.1 \text{ В}$ ) в предположении, что зарядом в оксиде можно пренебречь. Прodelать то же самое для подложки *n*-



типа с тем же уровнем легирования. Как изменится ответ, если в оксиде толщиной  $d_{ox} = 50$  нм непосредственно у границы раздела Si – SiO<sub>2</sub> имеется положительный заряд  $N_{ot} = 10^{11}$  см<sup>-2</sup>?

### Решение

Если заряд в оксиде равен нулю, то напряжение плоских зон совпадает с контактной разностью потенциалов (см. (13.7)). Край зоны проводимости кремния лежит ниже минимальной энергии свободного заряда в вакууме на величину сродства к электрону для данного полупроводника  $\chi_s$  (для кремния сродство к электрону  $\chi_s = 4.05$  В). Потенциал Ферми в кремнии лежит ниже края зоны проводимости Si на величину  $E_g/2q + \varphi_F \equiv E_g/2q + \varphi_t \ln(N_A/n_i)$ .

Потенциал Ферми в алюминиевом затворе лежит ниже уровня вакуума только на величину сродства к электрону для алюминия ( $\chi_m = 4.1$  В). Тогда для подложки *p*-типа имеем:

$$V_{FB} = \varphi_{ms} \equiv \chi_m - \chi_s - E_g/2q - \varphi_t \ln(N_A/n_i); \quad (15.1)$$

$$V_{FB} \cong 4.1 - 4.05 - 0.56 - 0.026 \ln(10^{17}/10^{10}) \cong -0.92 \text{ В.}$$

Для подложки *n*-типа

$$V_{FB} = \chi_m - \chi_s - E_g/2q + \varphi_t \ln(N_D/n_i); \quad (15.2)$$

$$V_{FB} \cong 4.1 - 4.05 - 0.56 + 0.026 \ln(10^{17}/10^{10}) \cong -0.1 \text{ В.}$$

При наличии положительного заряда в оксиде в обоих случаях напряжение сместится в сторону еще более отрицательных значений (см. задачу 14)

$$\Delta V_{FB} = -\Delta Q_{ot}/C_0; \quad (15.3)$$

$$\Delta V_{FB} \cong -(1.6 \cdot 10^{-19} \cdot 10^{11}) / (50 \cdot 10^{-7} / (3.9 \times 8.85 \times 10^{-14})) \cong -0.23 \text{ В.}$$

Обратите внимание на то, что из-за наличия контактной разности потенциалов, электрическое поле в оксиде не равно нулю даже при разомкнутом контакте затвора.

### Задача 16

Рассчитайте пороговое напряжение *n*-канального МОП-транзистора с алюминиевым затвором и концентрацией акцепторов в равномерно легированной подложке, полагая а)  $N_A = 10^{16}$  см<sup>-3</sup>, б)  $N_A = 10^{17}$  см<sup>-3</sup>. Заряд в подзатворном оксиде толщиной 10 нм расположен у границы раздела с кремнием и равен  $N_{ot} = 10^{11}$  см<sup>-2</sup>.

### Решение

Учитывая выражения (13.6) и (15.1), получаем расчетную формулу для порогового напряжения  $n$ -канального МОП-транзистора

$$V_t = \chi_m - \chi_s - E_g/2q + \varphi_i \ln(N_A/n_i) + 2 \varphi_F + q(N_A W(2 \varphi_F - N_{ot})/C_0). \quad (16.1)$$

Непосредственный расчет дает удельную емкость оксида  $C_0 = 3.45 \cdot 10^{-7}$  Ф/см<sup>2</sup> (см. (12.5)), а также

а)  $N_A = 10^{16}$ ;  $\varphi_F = 0.35$  В;  $V_t = -0.14$  В;

б)  $N_A = 10^{17}$ ;  $\varphi_F = 0.41$  В;  $V_t = 0.19$  В.

Эти вычисления дают понимание возможности технологического контроля и увеличения порогового напряжения  $n$ -канального МОП-транзистора (что необходимо для нормально закрытых приборов) с помощью процедуры подлегирования подложки.

### Задача 17

Найти выражение для тока стока МОП-транзистора с длиной канала  $L$  и шириной  $Z$  (SPICE параметры  $L$  и  $W$ ), используя концепцию времени пролета и полного количества подвижного заряда в канале транзистора  $Q_{inv}$  для случаев:

а) линейного омического режима  $V_{ds} \ll V_g - V_t$ ;

б) во всей крутой области  $I$ - $V$  характеристики  $V_{ds} \leq V_g - V_t$ ;

в) во всей пологой области работы МОП-транзистора

$$V_{ds} > V_g - V_t.$$

### Решение

а). При малом смещении между стоком и истоком плотность носителей в канале  $V_{ds} \ll V_g - V_t$

$$Q_{inv} \cong qn_s ZL = C_o(V_g - V_t)ZL. \quad (17.1)$$

Время пролета носителей между стоком и истоком (см. задачу 6)

$$\tau_F = L/(\mu E) = L^2/(\mu V_{ds}), \quad (17.2)$$

где  $\mu$  - подвижность носителей в канале транзистора (SPICE параметр UO). Тогда ток между стоком и истоком равен

$$I_d = Q_{inv}/\tau_F = (Z/L)\mu C_o(V_g - V_t)V_{ds} \quad (17.3)$$

б). Если приложенное напряжение между стоком и истоком не мало  $V_{ds} \leq V_g - V_t$ , то плотность носителей в инверсионном слое бу-

дет заметно уменьшаться направлению к стоку из-за увеличения поверхностного потенциала вдоль канала:

$$qn_s(y) = C_o(V_g - V_t - \varphi_s(y)); \quad (\varphi(y=0) = 0, \varphi(y=L) = V_{ds}). \quad (17.4)$$

Полное количество заряда в инверсионном слое в этом случае будет приблизительно определяться средним значением:

$$\overline{Q}_{inv} \cong \overline{qn_s(y)} ZL = C_o(V_g - V_t - V_{ds}/2) ZL. \quad (17.5)$$

Тогда ток стока равен:

$$I_d = (Z/L) \mu C_o (V_g - V_t - V_{ds}/2) V_{ds}. \quad (17.6)$$

Приведенная формула перестает быть справедливой уже при  $V_{ds} = V_g - V_t$ , когда концентрация заряда в инверсионном слое у стока снижается до очень малой величины, и ток насыщается приблизительно на уровне максимального значения (17.6)

$$I_d = (Z/L) \mu C_o (V_g - V_t)^2 / 2; \quad V_{ds} > V_g - V_t. \quad (17.7)$$

в). В реальных приборах при  $V_{ds} > V_g - V_t$  часто заметен эффект уменьшения длины канала за счет "наползания" на него расширяющейся при увеличении  $V_{ds}$  обедненной области обратносмещенного  $p-n$  перехода стока. Это уменьшение (или модуляция длины канала) зависит от напряжения между стоком и истоком и часто описывается с помощью эмпирического фактора модуляции  $\lambda$  (SPICE параметр LAMBDA):

$$I_d \sim 1/(L - \Delta L) \sim 1 + \Delta L/L \sim 1 + \lambda V_{ds}. \quad (17.8)$$

Приращение тока в режиме насыщения тока МОП-транзистора с точки зрения его малосигнальной эквивалентной схемы равносильно добавлению параллельно идеальному источнику тока некоторого, обычно очень большого внутреннего сопротивления (см. задачу 18).

### Задача 18

Имеем  $n$ -канальный МОП-транзистор, пороговое напряжение которого составляет  $V_t = 1$  В, отношение ширины канала к длине  $Z/L = 10 \text{ мкм}/1 \text{ мкм}$ , толщина оксида  $d_{ox} = 20 \text{ нм}$ , коэффициент модуляции длины канала  $\lambda = 0.01 \text{ В}^{-1}$ , подвижность электронов в канале  $\mu_n = 300 \text{ см}^2/(\text{В}\cdot\text{с})$ . Для смещений на затворе и стоке соответственно  $V_{gs} = 3$  В и  $V_{ds} = 5$  В рассчитать:

а) величину тока стока;

б) удельную крутизну входную проводимость;

в) выходное сопротивление.

**Решение**

а). Поскольку  $V_g - V_t < V_{ds}$ , то транзистор находится в области насыщения тока (пологий участок вольтамперной кривой) и для расчета тока мы должны пользоваться квадратичной формулой (17.7) с учетом (17.8)

$$I_d = \frac{Z}{L} \mu_n C_o \frac{(V_g - V_t)^2}{2} (1 + \lambda V_{ds}) \cong 1.09 \text{ мА.}$$

б). Крутизна, определяемая как

$$g_m = \left( \frac{\partial I_d}{\partial V_g} \right)_{V_{ds} = \text{const}}, \quad (18.1)$$

равна в этой точке

$$g_m = \frac{Z}{L} \mu_n C_o (V_g - V_t) (1 + \lambda V_{ds}) \cong 1.09 \text{ мА/В.} \quad (18.2)$$

Совпадение численных значений для  $I_d$  и  $g_m$  носит, конечно, случайный характер.

в). Выходное собственное сопротивление есть величина, обратная собственной проводимости канала:

$$g_D = \left( \frac{\partial I_d}{\partial V_{ds}} \right)_{V_g = \text{const}}. \quad (18.3)$$

Произведя дифференцирование, получаем:

$$r_0 = g_D^{-1} = \frac{1}{\lambda I_d} = \frac{1}{0.01 \times 1.09 \times 10^{-3}} \cong 91.7 \text{ кОм.} \quad (18.4)$$

### 3. ДИОДЫ И СВОЙСТВА P-N ПЕРЕХОДОВ

#### Задача 19

Пользуясь результатами задачи 10, получить граничное условие Шокли, считая, что все приложенное внешнее напряжение  $V$  падает на  $p-n$  переходе и изменяет величину барьерного потенциала  $\phi_B \rightarrow \phi_B - V$ . Найти приблизительное значение напряжения, при

котором концентрация инжектированных носителей сравнивается с концентрацией основных носителей.

Положительным смещением считается, если плюс прикладывается к полупроводнику  $p$ -типа, а минус – к полупроводнику  $n$ -типа.

### Решение

Прямое смещение уменьшает величину потенциального барьера  $p$ - $n$  перехода, и поэтому разумным обобщением равновесного соотношения (10.5) будет

$$\varphi_B - V = \varphi_t \ln (n_n/n_p) = \varphi_t \ln (p_p/p_n). \quad (19.1)$$

В отличие от (10.5), сюда входят концентрации неосновных ( $n_p$  и  $p_n$ ) и основных носителей ( $n_n$  и  $p_p$ ) с обеих сторон неравновесного  $p$ - $n$  перехода, т. е. перехода, через который течет ток.

При невысоком уровне инжекции концентрации основных носителей увеличиваются в процентном отношении незначительно (т.е. как и в равновесном случае,  $n_n \cong N_D$ ,  $p_p \cong N_A$ , см. задачу 1), а вот концентрация неосновных носителей может возрастать на двух границах обедненного слоя  $p$ - $n$  на несколько порядков (см. задачу 9)

$$n_p = n_n \exp [ - (\varphi_B - V)/\varphi_t ] \cong (N_D \exp [ - \varphi_B/\varphi_t ] ) \exp [ V/\varphi_t ] \cong \cong (n_i^2/N_A) \exp [ V/\varphi_t ]; \quad (19.2)$$

$$p_n = p_p \exp [ - (\varphi_B - V)/\varphi_t ] \cong (N_A \exp [ - \varphi_B/\varphi_t ] ) \exp [ V/\varphi_t ] \cong \cong (n_i^2/N_D) \exp [ V/\varphi_t ]. \quad (19.3)$$

Граничное условие Шокли для избыточных концентраций неосновных носителей будет иметь вид:

для границы обедненной области  $p$ - $n$  перехода с  $p$ -областью

$$\Delta n = n_p - n_{p0} = n_0 (\exp [ V/\varphi_t ] - 1) = (n_i^2/N_A) (\exp [ V/\varphi_t ] - 1); \quad (19.4)$$

для границы обедненной области  $p$ - $n$  перехода с  $n$ -областью

$$\Delta p = p_n - p_{n0} = p_0 (\exp [ V/\varphi_t ] - 1) = (n_i^2/N_D) (\exp [ V/\varphi_t ] - 1). \quad (19.5)$$

Напряжение на  $p$ - $n$  переходе, при котором концентрация инжектированных электронов, например, сравнивается с концентрацией основных носителей, дырок, определяется из уравнения  $\Delta n \cong N_A$ , которое дает величину искомого напряжения

$$V_1 \cong 2 \varphi_t \ln (N_A/n_i) = 2 \varphi_F. \quad (19.6)$$

Если  $N_A = 10^{15} \text{ см}^{-3}$ , то  $V_1 \cong 0.71 \text{ В}$ . Отметим, что это напряжение порядка величины потенциального барьера равновесного  $p$ - $n$  перехода  $\varphi_B$  и является при этом приблизительным максимальным зна-

чением справедливости приближения слабой инжекции и справедливости граничного условия Шокли. Приближение слабой инжекции нарушается сначала для слаболегированной стороны  $p$ - $n$  перехода.

### Задача 20

Решить уравнение Пуассона для резкого  $p$ - $n$  перехода, найти максимальное значение электрического поля в нем и толщину слоев пространственного заряда в  $n$ - и  $p$ -областях с уровнями легирования  $N_A = 10^{16} \text{ см}^{-3}$ ,  $N_D = 10^{18} \text{ см}^{-3}$ . Как изменится результат при приложении на переход смещения  $V$ ?

#### Решение

Уравнение Пуассона имеет вид:

$$\varepsilon_s \varepsilon_0 \frac{dE}{dx} = \begin{cases} q N_D & -W_n \leq x \leq 0, \\ -q N_A & 0 \leq x \leq W_p. \end{cases} \quad (20.1)$$

Нулевое граничное условие можно задавать на любой из границ объемного заряда ( $-W_n$  или  $W_p$ ). Электрическое поле изменяется по координате линейно и достигает максимума в точке  $x = 0$ , где резко меняется тип легирующей примеси. Интегрирование можно проводить с любой границы, и для максимального поля получаются два результата

$$E^{max} = (q/\varepsilon_s \varepsilon_0) N_D W_n = (q/\varepsilon_s \varepsilon_0) N_A W_p, \quad (20.2)$$

которые эквивалентны в силу полной электронейтральности структуры

$$N_D W_n = N_A W_p. \quad (20.3)$$

Интеграл от электрического поля по всей длине  $p$ - $n$  перехода равен разности электрического потенциала между объемами  $n$ - и  $p$ -полупроводников. В случае резкого  $p$ - $n$  перехода этот интеграл считается элементарно (площадь треугольника с высотой  $E^{max}$  и основанием  $W_n + W_p$ ):

$$\varphi_B = (q/2 \varepsilon_s \varepsilon_0) N_D W_n^2 + (q/2 \varepsilon_s \varepsilon_0) N_A W_p^2. \quad (20.4)$$

Решая совместно (20.3) и (20.4), получаем:

$$W_n = \left( \frac{2 \varepsilon_s \varepsilon_0 \varphi_B}{q N_D^2} \frac{N_A N_D}{N_A + N_D} \right)^{1/2}; \quad (20.5)$$

$$W_p = \left( \frac{2 \varepsilon_s \varepsilon_0 \varphi_B}{q N_A^2} \frac{N_A N_D}{N_A + N_D} \right)^{1/2}. \quad (20.6)$$

Барьерный потенциал в данном случае равен (см. (10.5)):

$$\varphi_B = \varphi_t \ln[N_D N_A / n_i^2] \cong 0.026 \ln[10^{18} 10^{16} / (10^{10})^2] = 0.83 \text{ В};$$

$$W_n \cong 0.0033 \text{ мкм}; \quad W_p \cong 0.33 \text{ мкм}.$$

Таким образом, толщина слоя пространственного заряда сильнолегированной части  $p$ - $n$  перехода очень мала. Внешнее напряжение  $V$ , приложенное к  $p$ - $n$  переходу, не нарушает полной электронейтральности слоев, а просто изменяет высоту потенциального барьера  $p$ - $n$  перехода. Все полученные формулы останутся в этом случае справедливыми, если значение потенциального барьера  $\varphi_b$  заменить на  $\varphi_B - V$ .

### Задача 21

Резкий  $p$ - $n$  переход имеет уровень легирования  $p$ -области  $2 \times 10^{16} \text{ см}^{-3}$ , а  $n$ -область кроме концентрации  $10^{17}$  доноров имеет еще  $10^{16} \text{ см}^{-3}$  акцепторов. Рассчитать:

а) равновесные концентрации электронов и дырок с обеих сторон  $p$ - $n$  перехода;

б) барьерный потенциал  $p$ - $n$  перехода;

в) барьерный потенциал при 400 К.

#### Решение

а). Используя результаты задачи 1, имеем

$$p\text{-область: } p \cong N_A = 2 \times 10^{16} \text{ см}^{-3}; \quad n = n_i^2 / p = 5 \times 10^3 \text{ см}^{-3};$$

$$n\text{-область: } n \cong N_D - N_A = 9 \times 10^{16} \text{ см}^{-3}; \quad p \cong n_i^2 / n = 1.1 \times 10^3 \text{ см}^{-3}.$$

б). Используя (10.5), получаем:

$$\varphi_B = \varphi_t \ln(n_{n0} p_{p0} / n_i^2) \cong \varphi_t \ln[(N_D - N_A) N_A / n_i^2] = 0.79 \text{ В}.$$

в). Для решения этой задачи нужно учесть сильную температурную зависимость собственной концентрации  $n_i$  (см. (2.5)). Учитывая, что при комнатной температуре  $n_i \cong 10^{10} \text{ см}^{-3}$ , а ширина запрещенной зоны в кремнии  $E_C - E_V \cong 1.1 \text{ эВ}$ , то можно рассчитать  $\varphi_B$  ( $T=400\text{К}$ )  $\cong 0.63 \text{ В}$ .

## Задача 22

Решить стационарное уравнение диффузии для распределения избыточной концентрации носителей (электронов) в полубесконечном образце, то есть, где длина полупроводника с рассматриваемой стороны много больше длины диффузии. В этом случае все инжектированные неосновные носители рекомбинируют и не доходят до контакта, а граничные условия имеют вид:

$$\Delta n(x=0) = \Delta n_0; \quad \Delta n(\infty) = 0; \quad 0 \leq x < \infty.$$

Найти ток электронов через структуру, полный избыточный заряд инжектированных неосновных носителей в образце  $Q_n$  и "время пролета", определенную формально по образцу задачи 6.

### Решение

Решение стационарного уравнения диффузии

$$D_n d^2(\Delta n)/dx^2 = \Delta n/\tau_n \quad (22.1)$$

для избыточной концентрации электронов  $\Delta n \equiv n - n_0 = \Delta p$  ищем в виде  $\Delta n \sim e^{kx}$ . Получаем  $k = \pm (D_n \tau_n)^{-1/2} \equiv \pm 1/L_n$ , где  $L_n$  – диффузионная длина для неосновных носителей (электронов). Тогда общее решение имеет вид

$$\Delta n = A \exp(-x/L_n) + B \exp(+x/L_n). \quad (22.2)$$

Для полубесконечного образца из граничных условий получаем  $A = \Delta n_0, B = 0$ . Тогда имеем:

Распределение плотности неосновных носителей

$$\Delta n(x) = \Delta n_0 \exp(-x/L_n). \quad (22.3)$$

Ток неосновных носителей удобно вычислять при  $x = 0$

$$J_n = -q D_n \Delta n_0 / L_n. \quad (22.5)$$

Полный заряд избыточных электронов (чистый заряд равен нулю за счет компенсации подтянувшимися основными носителями – дырками)

$$Q_n = q \Delta n_0 L_n. \quad (22.6)$$

"Время пролета" равно в этом случае времени жизни неосновных носителей

$$\tau_F = Q_n / J_n = L_n^2 / D = \tau_n. \quad (22.7)$$



### Задача 23

Решить предыдущую задачу для случая короткой базы (когда длина области полупроводника от края одной из сторон  $p-n$  перехода до омического контакта много меньше диффузионной длины  $W \ll L_n$ ). Сравнить время пролета через базу длиной  $W$  для структуры с подвижностью неосновных носителей  $\mu = 500 \text{ см}^2/(\text{В}\cdot\text{с})$ ,  $W = 1 \text{ мкм}$ , временем жизни  $\tau_n = 1 \text{ нс}$ .

#### Решение

Омический контакт играет роль идеального "поглотителя" неосновных носителей, и, поэтому, на нем необходимо задавать нулевое граничное условие. Тогда, в отличие от задачи 22, имеем:

$$\Delta n(x=0) = \Delta n_0; \quad \Delta n(x=W) = 0; \quad 0 \leq x \leq W. \quad (23.1)$$

Общее решение имеет такой же вид, как и в предыдущей задаче. Неопределенные коэффициенты нетрудно получить из граничных условий и в общем случае, но результаты получаются довольно громоздкими. Вместе с тем, условие короткой базы ( $W \ll L_n$ ) допускает очень простое описание для случая, исключительно важно-го на практике. При выполнении этого условия экспоненты в (22.2) можно разложить до линейных слагаемых и общее решение искать в виде

$$\Delta n(x) = A_1 + B_1 x. \quad (23.2)$$

Находя неопределенные константы с помощью граничных условий (23.1), получаем:

Распределение плотности неосновных носителей

$$\Delta n(x) = \Delta n_0 (1 - x/W). \quad (23.3)$$

Ток неосновных носителей

$$J_n = -q D_n \Delta n_0 / W. \quad (23.4)$$

Полный заряд избыточных носителей

$$Q_n = q \Delta n_0 W/2. \quad (23.5)$$

Время пролета, имеющее в этом случае буквальный смысл времени, за которое носитель диффундирует от края  $p-n$  перехода до омического контакта (SPICE параметр TT)

$$\tau_F = Q_n / J_n = W^2 / (2 D_n). \quad (23.6)$$

Коэффициент диффузии получим, воспользовавшись соотношением Эйнштейна (9.4). Тогда

$$\tau_F = W^2 / (2 \mu \varphi) \cong 4 \times 10^{-10} \text{ с} = 0.4 \text{ нс}.$$

Для базы такой толщины время пролета много меньше времени жизни  $\tau_n = 1$  мкс, что означает, что для неосновного носителя вероятность рекомбинировать при пролете до контакта весьма мала

$$\tau_F / \tau_n = W^2 / (2 D_n \tau_n) = W^2 / (2 L_n^2) \ll 1.$$

Отношение времен оказывается малым в меру малости толщины базы.

#### Задача 24

Найдите выражение для плотности полного тока через  $p$ - $n$  переход с длинными базами, задавая на двух границах области пространственного заряда  $p$ - $n$  перехода условия Шокли.

а). Определите также избыточную плотность неосновных носителей в  $n$ - и  $p$ -областях  $p$ - $n$  перехода.

б). Как изменится результат, если длины от перехода до контакта одной или двух нейтральных областей  $p$ - $n$  перехода  $W_{bp}$  и  $W_{bn}$  будут много меньше соответствующих диффузионных длин?

#### Решение

Используя решения задач 22, 23 и 19, получаем значение плотности диффузионного тока электронов на границе  $p$ - $n$  перехода с нейтральной  $p$ -областью:

$$J_n = q \left( \frac{D_n n_i^2}{N_A L_n} \right) (\exp(V / \phi_i) - 1) \quad (24.1)$$

и значение плотности диффузионного тока дырок в точке начала квазинейтральной части  $n$ -области

$$J_p = q \left( \frac{D_p n_i^2}{N_D L_p} \right) (\exp(V / \phi_i) - 1). \quad (24.2)$$

Полная плотность тока через  $p$ - $n$  переход есть сумма

$$J = J_n + J_p. \quad (24.3)$$

а). Избыточная плотность неосновных носителей равна:

$$Q_p = q \left( \frac{n_i^2}{N_D} \right) L_p (\exp(V / \phi_i) - 1) = J_p \tau_p; \quad (24.4)$$

$$Q_n = q \left( \frac{n_i^2}{N_A} \right) L_n (\exp(V / \varphi_t) - 1) = J_n \tau_n. \quad (24.5)$$

б). Для короткой базы получаем (см. (23.5)):

$$Q_p = q \left( \frac{n_i^2}{N_D} \right) \frac{W_{bp}}{2} (\exp(V / \varphi_t) - 1); \quad (24.6)$$

$$Q_n = q \left( \frac{n_i^2}{N_A} \right) \frac{W_{bn}}{2} (\exp(V / \varphi_t) - 1). \quad (24.7)$$

### Задача 25

Кремниевый  $p-n$  переход ( $N_A = 10^{16} \text{ см}^{-3}$ ,  $N_D = 4 \times 10^{16} \text{ см}^{-3}$ ) имеет длинную базу со стороны полупроводника  $p$ -типа и короткую базу  $W_{bn} = 1 \text{ мкм}$  со стороны полупроводника  $n$ -типа. Вычислите ток через диод площадью  $A = 100 \times 100 \text{ мкм}^2$ , если на  $p-n$  переходе падает напряжение  $V = 0.6 \text{ В}$ . Для расчетов примите значения времен жизни  $\tau_n = \tau_p = 10 \text{ нс}$ , а подвижностей  $\mu_n = 1000 \text{ см}^2/(\text{В} \times \text{с})$  и  $\mu_p = 300 \text{ см}^2/(\text{В} \times \text{с})$ .

#### Решение

Используя результаты решения задач 24 и 23, получаем:

$$I = q A \left( \frac{D_n n_i^2}{N_A L_n} + \frac{D_p n_i^2}{N_D W_n} \right) \exp(V / \varphi_t) \cong 41 \text{ мкА}.$$

### Задача 26

Получить формулу для барьерной емкости. Рассчитать барьерную емкость для диода с резким  $p-n$  переходом ( $N_A = 10^{18} \text{ см}^{-3}$ ,  $N_D = 4 \times 10^{16} \text{ см}^{-3}$ , площадь диода  $A = 10^{-4} \text{ см}^2$ ).

#### Решение

С электрической точки зрения,  $p-n$  переход может быть представлен в виде конденсатора с зарядами на обкладках

$$Q_J = q N_A W_p(V) = q N_D W_n(V). \quad (26.1)$$

Приложенное напряжение изменяет ширину областей пространственного заряда, но не нарушает полной электронейтральности структуры:

$$\varphi_b - V = (1/2)(q/\epsilon_s \epsilon_0) N_D W_n^2 + (1/2)(q/\epsilon_s \epsilon_0) N_A W_p^2. \quad (26.2)$$

Дифференциалы заряда на обкладках и приложенного потенциала равны соответственно:

$$dQ_J = qN_D dW_n(V) = qN_A dW_p(V); \quad (26.3)$$

$$dV = (q/\epsilon_s \epsilon_0) N_D W_n dW_n + (q/\epsilon_s \epsilon_0) N_A W_p dW_p.$$

Тогда удельная дифференциальная емкость области пространственного заряда  $p$ - $n$  перехода будет равна

$$C_J(V) = dQ_J/dV = \epsilon_s \epsilon_0 / (W_n(V) + W_p(V)), \quad (26.4)$$

где толщины слоев заряда в  $n$ - и  $p$ -областях ( $W_n$  и  $W_p$ ) определены в задаче 20. Для того чтобы получить барьерную емкость всего  $p$ - $n$  перехода, нужно помножить удельную емкость на площадь  $p$ - $n$  перехода.

Уравнение для барьерной емкости (26.4) можно также переписать в виде

$$C_J(V) = C_{J0} / (1 - V/\phi_B)^{1/2}, \quad (26.5),$$

где  $C_{J0}$  – удельная барьерная емкость при нулевом смещении (SPICE параметр CJO);  $\phi_B$  – контактный потенциал  $p$ - $n$  перехода (SPICE параметр VJ). Отметим, что степень  $1/2$  является свойством приближения резкого  $p$ - $n$  перехода, для плавного  $p$ - $n$  перехода этот параметр равен  $1/3$ ; на практике часто используют эмпирическое промежуточное значение (SPICE параметр MJ).

Величина потенциального барьера для данной задачи составляет

$$\phi_B = \phi_i \ln[N_D N_A/n_i^2] \cong 0.83 \text{ В}.$$

Для указанных в условиях задачи параметров удельная барьерная емкость при нулевом смещении:

$$C_{J0} = 3.19 \cdot 10^{-8} \text{ Ф/см}^2;$$

при обратном смещении ( $V = -0.5 \text{ В}$ ):

$$C_J = 3.19 \cdot 10^{-8} / (1 + 0.5/0.83)^{1/2} = 2.52 \cdot 10^{-8} \text{ Ф/см}^2.$$

Полные барьерные емкости будут равны соответственно 3.19 и 2.52 пФ.

### Задача 27

Найдите формулу для диффузионной емкости  $p$ - $n$  перехода для диода с длинными базами. Как изменится результат, если одна либо обе базы диода будут короткими?

### Решение

Полный заряд неосновных носителей, накапливаемых у краев прямого смещенного  $p-n$  перехода равен (см. задачу 24)

$$Q = Q_n + Q_p = J_n \tau_n + J_p \tau_p. \quad (27.1)$$

Необходимо подчеркнуть, что этот избыточный заряд неосновных носителей не вносит вклада в электрическое поле  $p-n$  перехода, поскольку он оказывается скомпенсированным пространственным перераспределением основных носителей. Тем не менее, при изменении прямого смещения этот заряд изменяется и можно ввести диффузионную емкость

$$C_{diff} = \frac{dQ}{dV}. \quad (27.2)$$

Используя (24.4), можно получить для заряда дырок в длинной базе  $n$ -типа

$$\frac{dQ_p}{dV} = q \left( \frac{n_i^2}{N_D \varphi_t} \right) L_p \exp(V / \varphi_t) \cong \frac{J_p \tau_p}{\varphi_t}. \quad (27.3)$$

Аналогичное соотношение имеет место для длинной базы со стороны  $p$ -полупроводника. Если, например,  $p$ -база диода имеет длину  $W$ , много меньшую диффузионной длины электронов  $L_n$ , то вместо диффузионной длины для электронов следует подставить длину базы  $W$ , а вместо времени жизни  $\tau_n$  – время диффузии электрона через базу  $\tau_F = W^2 / 2D_n$ .

### Задача 28

Рассчитайте диффузионную емкость диода с характеристиками, как в задаче 26 ( $N_A = 10^{18} \text{ см}^{-3}$ ,  $N_D = 4 \times 10^{16} \text{ см}^{-3}$ ,  $A = 10^{-4} \text{ см}^2$ ), и с длиной баз  $W_{bp} = 1 \text{ мкм}$ ,  $W_{bn} = 1 \text{ мм}$ . Времена жизни носителей 0.1 мс, подвижности принять равными  $\mu_n = 1000 \text{ см}^2 / (\text{В} \times \text{с})$  и  $\mu_p = 300 \text{ см}^2 / (\text{В} \times \text{с})$ .

Найти прямое смещение на  $p-n$  переходе, при котором диффузионная емкость начинает превосходить барьерную емкость.

### Решение

Оценки показывают, что диффузионная длина электронов существенно больше длины  $p$ -базы, где этот электрон диффундирует.

Напротив, диффузионная длина для дырок существенно меньше длины  $n$ -базы

$$L_p = (\mu_p \varphi_t \tau)^{1/2} \cong 0.028 \text{ см} \ll W_{bn} = 1 \text{ мм.}$$

Поэтому

$$C_{diff} = \frac{qA}{\varphi_t} \left( \frac{p_{n0} D_p}{L_p} \tau_p + \frac{n_{p0} D_n}{W_{bp}} \tau_F \right) \exp(V/\varphi_t) \cong \\ \cong 1.7 \times 10^{-19} \exp(V/\varphi_t) \Phi,$$

где  $\tau_F = W_{bp}^2 / (2 D_n) = 190$  пс – время диффузии (пролета) электрона через  $p$ -базу.

Приравнявая выражения для диффузионной и барьерной емкости

$$C_{j0} / \sqrt{1 - V_1/\varphi_B} \cong 1.7 \times 10^{-15} \exp(V_1/\varphi_t) \Phi/\text{см}^2,$$

где  $C_{j0} = 3.19 \cdot 10^{-8} \Phi/\text{см}^2$ ,  $\varphi_B = 0.83$  В (см. задачу 26), получаем численно  $V_1 \cong 0.44$  В.

#### 4. БИПОЛЯРНЫЕ ТРАНЗИСТОРЫ

##### Задача 29

Рассмотрите биполярный  $n$ - $p$ - $n$  транзистор в прямом активном режиме работы, включенный по схеме с общим эмиттером. Получите выражение для тока рекомбинации в объеме базы, считая ее короткой. Определите коэффициент переноса тока, то есть долю инжектированных электронов, дошедших до обратносмещенного коллекторного перехода.

##### Решение

Используя решение задачи 24, имеем выражение для плотности тока электронов эмиттерного перехода:

$$I_{nE} = A_E \frac{q D_n}{W_B} \frac{n_i^2}{N_D} \left( \exp\left(\frac{V_{BE}}{\varphi_t}\right) - 1 \right) = \frac{\Delta Q_n}{\tau_F}, \quad (29.1)$$

где  $\tau_F = W_B^2 / (2 D_n)$  – время диффузии ("пролета") электронов через толщину базы  $W_B$ ;  $\Delta Q_n$  – избыточная концентрация неосновных носителей в базе.

Скорость рекомбинации в объеме базы (объемный ток рекомбинации электронов  $I_{rB}$ ) пропорциональна  $\Delta Q_n$  и обратно пропорциональна времени жизни электронов  $\tau_n$ :

$$I_{rB} = \frac{\Delta Q_n}{\tau_n}. \quad (29.2)$$

Коэффициент переноса тока, т.е. доля электронов, дошедшая до коллектора равен

$$\alpha_T = \frac{I_{nE} - I_{rB}}{I_{nE}} = 1 - \frac{\tau_F}{\tau_n} = 1 - \frac{W_B^2}{2D_n\tau_n} = 1 - \frac{W_B^2}{2L_n^2}. \quad (29.3)$$

Необходимо подчеркнуть, что соотношения (29.2-29.3) справедливы, только при выполнении условия  $\tau_F/\tau_n = W_B^2/(2L_n^2) \ll 1$ , т. е. при достаточно тонкой базе. В общем случае, хорошим приближением для коэффициента переноса будет пуассоновская вероятность того, что неосновной носитель не прорекомбинирует за время пролета  $\tau_F$ :

$$\alpha_T = \exp\left(-\frac{\tau_F}{\tau_n}\right). \quad (29.4)$$

Выражение (29.4) переходит в (29.3) при выполнении условия  $\tau_F/\tau_n \ll 1$ .

### Задача 30

Какова доля электронной компоненты в полном токе диффузии эмиттерного перехода  $n$ - $p$ - $n$  транзистора? Получите оценочное выражение для эффективности эмиттера для случая короткой базы и короткого эмиттера. Отношение коэффициентов диффузии электронов и дырок принять равным 3, уровней легирования эмиттера и базы – 10, ширины нейтральной области эмиттера и базы – 2.

Каков при этом диффузионный ток дырок, инжектируемый в эмиттер при прямом смещении эмиттерного перехода, если полный диффузионный ток эмиттера 1 мА?

#### Решение

Коэффициент эффективности эмиттера, по определению есть

$$\gamma = \frac{J_{nE}}{J_{nE} + J_{pE}} = \frac{1}{1 + J_{pE}/J_{nE}}. \quad (30.1)$$

Электронные и дырочные компоненты диффузионного тока инжекции получены в задаче 23. В современных транзисторах, разме-

ры не только базовой области, но и области эмиттера, как правило, меньше соответствующих диффузионных длин. Учитывая это, получаем:

$$\gamma = \left( 1 + \frac{D_{p,E} N_B W_B}{D_{n,B} N_E W_E} \right)^{-1} = \left( 1 + \frac{1}{3 \times 10 \times 2} \right)^{-1} \cong 0.984. \quad (30.2)$$

Дырочная составляющая диффузионного ток эмиттера при полном токе эмиттера 1 мА равна

$$I_{pE} = ((1-\gamma)/\gamma) I_E \cong 16.7 \text{ мкА}. \quad (30.3)$$

Этот ток по порядку величины равен (чуть меньше) базовому току, что не является случайным (см. задачу 31).

### Задача 31

Получите выражение для коэффициента усиления транзистора  $\beta = I_C/I_B$  при нормальном включении (SPICE параметр BF) в схеме с общим эмиттером, используя принцип электронейтральности базовой области. Как коэффициент усиления зависит от ширины базы транзистора?

#### Решение

В схеме с общим эмиттером можно задавать ток базы  $I_B$ , что соответствует поступлению в базу дырок и появлению избыточной концентрации основных носителей  $\Delta Q_p$ . Появление избыточного положительного заряда в базе приводит к инжекции электронов из эмиттера и восстановлению электронейтральности базы

$$\Delta Q_p = \Delta Q_n \equiv \Delta Q_B. \quad (31.1)$$

Большая часть электронов за время, порядка времени пролета базы  $\tau_F = W_B^2/2 D_n$ , уходит в коллектор. Дырки либо рекомбинируют с пролетающими электронами, либо уходят через прямосмещенный  $p-n$  переход в эмиттер (см. также задачи 29 и 30)

$$I_B = I_{pE} + I_{rB} = \frac{1-\gamma}{\gamma} I_{nE} + (1-\alpha_T) I_{nE}. \quad (31.2)$$

Учитывая, что  $I_{nE} = \gamma I_E = \gamma (I_C + I_B)$ , для коэффициента усиления получаем:



$$\beta = \frac{\alpha_T}{\frac{1-\gamma}{\gamma} + 1 - \alpha_T} = \frac{\gamma \alpha_T}{1 - \gamma \alpha_T}. \quad (31.3).$$

В случае короткой базы получаем  $\alpha_T = 1 - W_B^2/2 D_n$ .

Рассмотрим два предельных случая:

а). очень короткая база: рекомбинация в базе отсутствует;  $\tau_F/\tau_n \rightarrow 0$ , коэффициент усиления равен

$$\beta = \frac{\gamma}{1 - \gamma}. \quad (32.4)$$

Все дырки, поступающие из базового контакта, уходят в эмиттер;

б). Очень длинная база; время пролета много больше времени жизни ( $\tau_F/\tau_n \gg 1$ ), практически все электроны, инжектированные из эмиттера, рекомбинируют в базе и не достигают коллектора.

Коэффициент переноса в последнем случае стремится к нулю  $\alpha_T \rightarrow 0$ , а вместе с ним стремится к нулю и  $\beta$  (см. (31.3)). Ток коллектора уже не управляется током базы, поскольку практически весь ток дырок из контакта базы идет на рекомбинацию электронов, инжектируемых из эмиттера. Из-за этого электроны практически не доходят до коллектора, и ток в нем представляет собой очень малый ток обратносмещенного коллекторного  $p-n$  перехода.

### Задача 32

Имеем биполярный транзистор  $n-p-n$  типа; легирование эмиттера  $10^{18} \text{ см}^{-3}$ ; легирование базы  $10^{17} \text{ см}^{-3}$ . Ширина нейтральной области эмиттера  $W_E = 2 \text{ мкм}$ , а базы –  $0.4 \text{ мкм}$ . Время жизни электронов в базе составляет  $100 \text{ нс}$ . Вычислить эффективность эмиттера, коэффициент переноса и коэффициент усиления транзистора в прямом активном режиме. Подвижность электронов и дырок принять равной  $1000$  и  $300 \text{ см}^2/(\text{В}\cdot\text{с})$  соответственно. Какая часть базового тока будет уходить в эмиттер?

#### Решение

Коэффициент эффективности эмиттера

$$\gamma = \left( 1 + \frac{D_{p,E} N_B W_B}{D_{n,B} N_E W_E} \right)^{-1} \cong 0.9940;$$

коэффициент переноса

$$\alpha_T = 1 - \frac{W_B^2}{2 D_{n,B} \tau_n} \cong 0.9969;$$

коэффициент усиления

$$\beta = \frac{\alpha_T}{\frac{1-\gamma}{\gamma} + 1 - \alpha_T} = \frac{\gamma \alpha_T}{1 - \gamma \alpha_T} \cong 109.8.$$

Отношение тока дырок из базы, уходящего в эмиттер, к полному току базы равно

$$\frac{I_{pE}}{I_B} = \frac{1-\gamma}{\gamma} \left/ \left( \frac{1-\gamma}{\gamma} + 1 - \alpha_T \right) \right. \cong 0.661.$$

В современных биполярных транзисторах с тонкой базой, компонента тока базы, уходящая в эмиттер, как правило, превосходит рекомбинационную составляющую базового тока.

### Задача 33

Ток эмиттера биполярного транзистора составляет 1 мА, эффективность эмиттера - 0.99, коэффициент переноса - 0.995. Вычислить коэффициент передачи и усиление транзистора, а также ток базы и коллектора.

#### Решение

Коэффициент передачи  $\alpha$  есть отношение тока коллектора к току эмиттера (не путать с коэффициентом переноса  $\alpha_T$ ). Коллектора достигает только доля диффузионного тока неосновных носителей, которая, в свою очередь, является лишь долей от полного эмиттерного тока  $I_C = \alpha_T I_{nE} = \alpha_T \gamma I_E \equiv \alpha I_E$ .

Таким образом, коэффициент передачи  $\alpha \equiv I_C / I_E$  равен

$$\alpha = \gamma \alpha_T = 0.99 \times 0.995 \cong 0.985;$$

$$\text{коэффициент усиления } \beta = \gamma \alpha_T / (1 - \gamma \alpha_T) = 65.9;$$

$$\text{ток коллектора } I_C = \gamma \alpha_T I_E = 0.985 \text{ мА};$$

$$\text{ток базы } I_B = I_E - I_C = 15 \text{ мкА}.$$

### Задача 34

Нарисуйте и объясните эквивалентную схему модели Эберс - Молла для биполярного  $n-p-n$  транзистора, напишите соответствующие уравнения модели, получите соотношение обратимости для параметров модели и выражение для напряжения между коллектором и эмиттером в режиме двойной инжекции.

Рассчитайте напряжение насыщения биполярного транзистора, если ток базы равен 1 мА, а ток коллектора – 10 мА. Считать, что коэффициенты передачи в прямом и инверсном режиме равны соответственно  $\alpha_F = 0.995$  и  $\alpha_R = 0.3$ .

#### Решение

Если бы база транзистора была существенно шире, чем диффузионная длина, то эквивалентной схемой  $n-p-n$  транзистора являлись бы два последовательных  $p-n$  перехода, включенных в противоположные стороны. При этом токи  $p-n$  переходов ( $I_F$  и  $I_R$ , см. рисунок) определялись бы обычными выражениями для тока диода и зависели только от напряжений, падающих на данном конкретном переходе.

При короткой базе через каждый  $p-n$  переходы течет также доля тока, не зависящая от напряжения на данном переходе. На эквивалентной схеме это отражено включением параллельного источника тока к каждому диоду (см. рис.1).

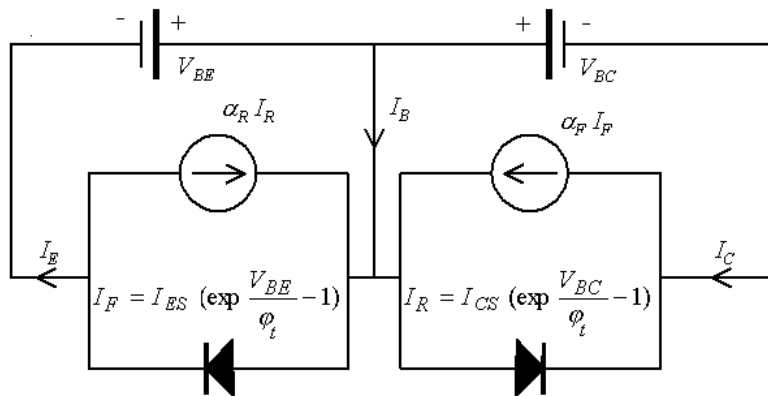


Рис.1. Эквивалентная схема модели Эберса – Молла

Здесь  $\alpha_F$  и  $\alpha_R$  – коэффициенты передачи для прямого и инверсного режима включения соответственно,  $I_{CS}$  и  $I_{ES}$  – параметры модели Эберса – Молла, не совпадающие с обратными токами отдельных  $p-n$  переходов [1].

Как видно из схемы, ток коллектора складывается из обратного тока собственно диода ( $-I_R$ ) и части электронов, дошедших из эмиттера ( $\alpha_F I_F$ ).

$$I_E = I_F - \alpha_R I_R; \quad (34.1)$$

$$I_C = \alpha_F I_F - I_R; \quad (34.2)$$

$$I_B = I_E - I_C = (1 - \alpha_F) I_F + (1 - \alpha_R) I_R. \quad (34.3)$$

В режиме двойной инжекции (насыщения), оба  $p-n$  перехода смещены в прямом направлении. Если задать относительно базы равные напряжения на коллекторе и эмиттере ( $V_{BE} = V_{BC} > 0$ ), то коллектор и эмиттер оказываются при равных потенциалах, и между ними не может быть никакого тока неосновных носителей (электронов) при любом соотношении площадей эмиттера и коллектора и способе легирования базы и  $p-n$  переходов. Это означает, что ток электронов, инжектированных из эмиттера и достигших коллектора ( $\alpha_F I_F$ ), равен току электронов, инжектированных из коллектора и достигших эмиттера ( $\alpha_R I_R$ ). Отсюда получаем соотношение обратимости, связывающее параметры модели Эберса - Молла

$$I_{ES} \alpha_F = I_{CS} \alpha_R. \quad (34.4)$$

В режиме двойной инжекции единицей в выражениях для  $I_F$  и  $I_R$  (см. рисунок) можно пренебречь. Поэтому, напряжение между коллектором и эмиттером можно выразить как

$$V_{CE} = V_{BE} - V_{BC} \cong \varphi_t \ln \left[ \frac{I_F}{I_R} \frac{I_{CS}}{I_{ES}} \right]. \quad (34.5)$$

Используя соотношение обратимости и уравнения Эберса - Молла, получаем

$$V_{CE,sat} = \varphi_t \ln \left\{ \frac{1 + (I_C / I_B)(1 - \alpha_R)}{\alpha_R \left[ 1 - \frac{I_C(1 - \alpha_F)}{I_B \alpha_F} \right]} \right\}. \quad (34.5)$$

Для  $\alpha_F = 0.995$ , коэффициент усиления равен  $\beta = \alpha_F / (1 - \alpha_F) = 199$ , а по условию задачи, отношение  $I_C / I_B = 10$ . Следовательно, биполярный транзистор находится в глубоком насыщении. Тогда напряжение насыщения можно оценить по формуле (34.5):

$$V_{CE,sat} \cong 87 \text{ мВ.}$$

### Задача 35

На переход база – коллектор биполярного  $n-p-n$  транзистора при разомкнутом эмиттере подано обратное смещение. Рассчитать токи коллектора и базы, а также знак и величину смещения на эмиттерном  $p-n$  переходе.

Принять  $\alpha_F = 0.99$ ;  $\alpha_R = 0.5$ ;  $I_{CS} = 10^{-13}$  А.

#### Решение

Отметим, что при обратносмещенном коллекторном переходе ( $V_{BC} < 0$ )  $I_R \cong -I_{CS}$ . Тогда из условия равенства нулю тока эмиттера и уравнений модели Эберса - Молла получаем:

$$I_F = \alpha_R I_R \cong -\alpha_R I_{CS};$$

$$I_C = I_B = (\alpha_F \alpha_R - 1) I_R \cong (1 - \alpha_F \alpha_R) I_{CS} \cong 0.5 \cdot 10^{-13} \text{ А.}$$

Используя выражение для  $I_F$  и соотношение обратимости, получаем:

$$-\alpha_R I_{CS} = I_{ES} (\exp[V_{BE}/\varphi_t] - 1),$$

$$V_{BE} = \varphi_t \ln(1 - \alpha_F) \cong -0.12 \text{ В.}$$

Потенциал базы оказывается меньшим потенциала эмиттера, то есть переход эмиттера оказывается обратносмещенным. Дырки, инжектируемые в базу из коллектора, нарушают электронейтральность базовой области. В данном случае электронейтральность восстанавливается за счет уширения области отрицательно заряженных акцепторов базы, что эквивалентно подаче обратного смещения на  $p-n$  переход эмиттера (сравните со случаем нормального активного режима).

### Задача 36

Получите выражения для малосигнальных параметров биполярных транзисторов с учетом эффекта Эрли. Рассчитайте крутизну транзистора, его входное и выходное сопротивление, если в рабочей точке ток коллектора  $I_C = 1$  мА; коэффициент усиления без учета эффекта Эрли  $\beta_{F0} = 100$ ; напряжение между коллектором и эмиттером  $V_{CE} = 10$  В; напряжение Эрли  $V_A = 40$  В.

#### Решение

В нормальном активном режиме

$$I_C = \alpha_F I_F - I_R \cong \alpha_F I_{ES} \exp(V_{BE}/\varphi_t) + I_{CS} \cong I_S \exp(V_{BE}/\varphi_t),$$

где  $I_S \equiv \alpha_F I_{ES}$  – "ток насыщения" (SPICE параметр IS).

Ток базы является входным током в схеме с общим эмиттером, задается независимо, и, следовательно, не зависит от эффекта модуляции толщины базы, обусловленного обратным смещением на коллекторном переходе (эффект Эрли). Входной ток и напряжение биполярного транзистора при включении с общим эмиттером –  $I_B$  и  $V_{BE}$  соответственно, выходной ток и напряжение –  $I_C$  и  $V_{CE}$ .

Эффект Эрли по своему физическому смыслу совпадает с эффектом модуляции длины канала в МОП-транзисторе (см. задачу 18). Напряжение Эрли  $V_A$  (SPICE параметр VAF) соответствует обратному значению  $\lambda$ . С учетом эффекта Эрли ток коллектора выражается формулой:

$$I_C = I_S \exp(V_{BE}/\varphi_t) \left( 1 + \frac{V_{CE}}{V_A} \right). \quad (36.1)$$

Коэффициент усиления за счет эффекта Эрли увеличивается вместе с током коллектора

$$\beta_F = \frac{I_C}{I_B} = \frac{I_S \exp(V_{BE}/\varphi_t) \left( 1 + \frac{V_{CE}}{V_A} \right)}{I_B} = \beta_{F0} \left( 1 + \frac{V_{CE}}{V_A} \right). \quad (36.2)$$

Ток базы равен

$$I_B = \frac{I_C}{\beta_F} = \frac{I_S \exp(V_{BE}/\varphi_t)}{\beta_{F0}}; \quad (36.3)$$

крутизна

$$g_m = \left( \frac{\partial I_C}{\partial V_{BE}} \right)_{V_{CE}} = \frac{I_C}{\varphi_t} \cong 40 \text{ мА/В}; \quad (36.4)$$

выходное сопротивление

$$r_0 = \left( \frac{\partial I_C}{\partial V_{CE}} \right)_{V_{BE}}^{-1} = \frac{V_A + V_{CE}}{I_C} \cong 50 \text{ кОм}; \quad (36.5)$$

входное сопротивление без учета омического сопротивления области базы

$$r_{in} = \left( \frac{\partial I_B}{\partial V_{BE}} \right)_{V_{BE}}^{-1} = \frac{\beta_0 \varphi_t}{I_C} = \frac{\beta_0}{g_m} \cong 2.5 \text{ кОм}. \quad (36.6)$$

В отличие от МОП-транзисторов, обладающих практически бесконечным входным сопротивлением, входное сопротивление биполярных транзисторов сравнительно мало.

## 5. ПРИЛОЖЕНИЯ. ПАРАМЕТРЫ, КОНСТАНТЫ, ТИПИЧНЫЕ ЗНАЧЕНИЯ

### Приложение А. Физические константы и параметры кремния

Величина	Символ	Значение
Заряд электрона, Кл	$q$	$1.6 \times 10^{-19}$
Постоянная Больцмана, эВ/К	$k$	$8.62 \times 10^{-5}$
Диэлектрическая проницаемость		
вакуума (абс.), Ф/см	$\epsilon_0$	$8.85 \times 10^{-14}$
кремния (отн.)	$\epsilon_s$	12
оксида кремния (отн.)	$\epsilon_i$	4
Ширина запрещенной зоны		
при T=300К, эВ	$E_g$	
кремния (Si)		1.12
оксида кремния (SiO <sub>2</sub> )		8 - 9
Эффективная плотность состояний		
зона проводимости	$N_C$	$2.8 \times 10^{19} \text{ см}^{-3}$
валентная зона	$N_V$	$1.04 \times 10^{19} \text{ см}^{-3}$
Собственная концентрация		
в кремнии (T = 300К), см <sup>-3</sup>	$n_i$	$1.45 \times 10^{10}$
Плотность кремния, г/см <sup>3</sup>		
1 эВ = $1.6 \times 10^{-19}$ Дж		11600 К
Тепловой потенциал, В		
при температуре 300К (27 °С)	$\phi_t \equiv kT/q$	$0.026 \approx 1/40 \text{ В}$
Дрейфовая подвижность		
носителей в Si (при T=300К), см <sup>2</sup> /(В×с)		
электроны	$\mu_n$	1500
дырки	$\mu_p$	450

### Удельное сопротивление p-Si при разных уровнях легирования

$\rho, \text{ Ом}\cdot\text{см}$	$N_A, \text{ см}^{-3}$
0,1	$5 \times 10^{17}$
1	$1.5 \times 10^{16}$
10	$1.4 \times 10^{15}$
100	$1.4 \times 10^{14}$



## Приложение Б. Типичные значения параметров приборов

### 1) МОП-транзисторы

Уровни легирования, $\text{см}^{-3}$ :	
подложек	$10^{15} \dots 10^{17}$
стоков и истоков	$10^{18} \dots 10^{19}$
Длины каналов, $\text{мкм}$	$0.013 \dots 2$
Подвижности электронов в каналах ( $300 \dots 900$ ) $\text{см}^2/(\text{В} \times \text{с})$ .	
Толщины подзатворных оксидов ( $10 \dots 100$ ) $\text{нм}$ .	
Электрические поля, $\text{В/см}$ :	
в оксидах	$10^5 \dots 10^7$
в канале транзистора	до $(2 \dots 5) \times 10^4$

### 2) Биполярные транзисторы

Уровни легирования, $\text{см}^{-3}$ :	
эмиттеров	$10^{19} \dots 10^{21}$
базы	$10^{17} \dots 10^{18}$
коллекторов	$10^{15} \dots 10^{16}$
Площади $p$ - $n$ перехода, $\text{мкм}^2$ :	
эмиттер-база	$10 \dots 20$
коллектор-база	$100 \dots 200$
Барьерные емкости $p$ - $n$ переходов, $\text{фФ}$ :	
эмиттер-база	$50 \dots 100$
коллектор-база	$50 \dots 100$

### Масштабные множители и стандартные SPICE обозначения

Фемто	F	$10^{-15}$
Пико	P	$10^{-12}$
Нано	N	$10^{-9}$
Микро	U	$10^{-6}$
Милли	M	$10^{-3}$
Кило	K	$10^3$
Мега	MEG	$10^6$

$$\ln(10) \cong 2.3; \exp(x) = 10^{x/\ln(10)} \cong 10^{0.43x}$$

### Список рекомендуемой литературы

1. Степаненко И. П. Основы микроэлектроники: Уч. пособие для вузов. – 2-е изд., перераб. и доп. М.: Лаборатория Базовых Знаний, 2000.
2. Тугов Н. М., Глебов Б. М., Чарыков Н. А. Полупроводниковые приборы: Учебник для вузов. М.: Энергоатомиздат, 1990.
3. Аваев Н. А., Наумов Ю. Е., Фролкин В. Т. Основы микроэлектроники: Уч. пособие для вузов. М.: Радио и связь, 1991.
4. Зи С. Физика полупроводниковых приборов: в 2-х томах. Пер. с англ. М.: Мир, 1984.
5. Шур М. С. Физика полупроводниковых приборов: в 2-х томах. Пер. с англ. М.: Мир, 1992.
6. Маллер Р., Кейминс Т. Элементы интегральных схем. Пер. с англ. М.: Мир, 1989.
7. Тилл У., Лаксон Дж. Интегральные схемы: материалы, приборы, изготовление. Пер. с англ. М.: Мир, 1985.
8. Росадо Л. Физическая электроника и микроэлектроника. Пер. с исп. М.: Высшая школа, 1991.
9. Разевиг В.Д. Система проектирования OrCAD 9.2. М.: СОЛОН-Р, 2001.

## Содержание

Предисловие	4
1. Основы физики полупроводников	5
2. Свойства МОП-структур	13
3. Диоды и свойства <i>p-n</i> переходов	22
4. Биполярные транзисторы	32
5. Приложения	42
Список рекомендуемой литературы	43
Содержание	44

Зебрев Геннадий Иванович

СБОРНИК ЗАДАЧ  
ПО КУРСУ  
«ОСНОВЫ МИКРОЭЛЕКТРОНИКИ»

Редактор Н.В. Шумакова

Пописано в печать 10.04.2003      Формат 60×84 1/16      Объем    п.л.  
Уч.-изд. л.      Тираж      экз.      Изд.№025-1      Заказ

Московский инженерно-физический институт  
(государственный университет). Типография МИФИ.  
115409, Москва, Каширское шоссе, 31.